

УДК 543.422.3:535.341.08

**УФ СПЕКТРОСКОПИЯ МОНОЗАМЕЩЕННЫХ ПРОИЗВОДНЫХ
1,2-ДИГИДРО-С₆₀-ФУЛЛЕРОНОВ**

**Ю.Н. Биглова¹, В.А. Крайкин², С.А. Торосян², В.В. Михеев¹, С.В. Колесов²,
А.Г. Мустафин¹, М.С. Ми�향ахов²**

¹*Башкирский государственный университет, химический факультет, Уфа, e-mail: bn.yulya@mail.ru*

²*Институт органической химии УНЦ РАН, Уфа*

Статья поступила 8 июля 2012 г.

Методом УФ спектроскопии в различных растворителях определены молярные коэффициенты поглощения фуллерена С₆₀ и монозамещенных 1,2-дигидро-С₆₀-фуллеренов. Установлено, что коэффициент экстинкции фуллерена С₆₀ при 330 нм (основная полоса поглощения, наиболее часто используемая для количественного и качественного определения содержания С₆₀) не зависит от природы растворителя и составляет ~54400 М⁻¹·см⁻¹. Молярные коэффициенты поглощения ряда монозамещенных 1,2-дигидро-С₆₀-фуллеренов практически не зависят от химического строения, длины заместителя и составляют 35700 М⁻¹·см⁻¹ ($\lambda \sim 328$ нм) и 115250 М⁻¹·см⁻¹ ($\lambda \sim 257$ нм). Показано, что замещение в фуллерене происходит по двойной 6,6 связи, о чем свидетельствует характеристическая для монозамещенных метанофуллеренов полоса поглощения при 424 нм в спектрах этих соединений.

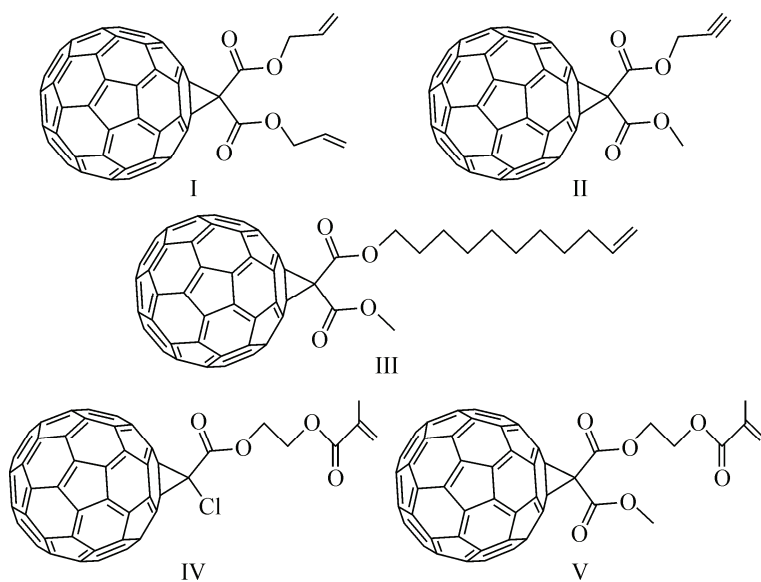
Ключевые слова: фуллерен, монозамещенные 1,2-дигидро-С₆₀-фуллерены, УФ спектроскопия, коэффициенты экстинкции.

Количество публикаций по химии фуллерена С₆₀ неуклонно растет. Это касается не только работ в области синтеза функционализированных производных на его основе, но и исследований, связанных с изучением свойств как самого С₆₀, так и полученных на его основе соединений. Для качественного и количественного определения свободного и ковалентносвязанного фуллерена весьма существенно знание спектральных характеристик. Имеющиеся в научной литературе публикации по изучению УФ спектров С₆₀ и продуктов функционализации на его основе немногочисленны. Сведения же, приведенные в литературных источниках, разрозненны и противоречивы, хотя важность систематизации обозначенных данных актуальна [1—5]. Монозамещенные 1,2-дигидро-С₆₀-фуллерены интересны тем, что содержат активные двойные связи, которые могут быть вовлечены в реакции (ко)полимеризации.

Цель настоящей работы — исследование методом УФ спектроскопии: 1) влияния химического строения и длины заместителя на спектральные характеристики монозамещенных 1,2-дигидро-С₆₀-фуллеренов; 2) количественных изменений молярных коэффициентов поглощения, происходящих в результате преобразования С₆₀ в функционализированные производные. Проведен сопоставительный анализ полученных результатов с данными, опубликованными в этой области.

ЭКСПЕРИМЕНТАЛЬНАЯ ЧАСТЬ

В качестве объектов исследования выбраны фуллерен C₆₀ (ЗАО "ИЛИП", 99,5 % основного вещества) и синтезированные на его основе (по модифицированной методике Бингеля—Хирша) монозамещенные 1,2-дигидро-C₆₀-фуллерены [6—8]: [(1',1'-диаллилоксикарбонил)-1,2-метано]-1,2-дигидро-C₆₀-фуллерен (I); [(1-метоксикарбонил)-1-(пропинилоксикарбонил)метано]-1,2-дигидро-C₆₀-фуллерен (II); [(1-метоксикарбонил)-1-(10-ундеценилоксикарбонил)-1,2-метано]-1,2-дигидро-C₆₀-фуллерен (III); [(1-(метакрилоилокси)этилоксикарбонил-1-хлор)метано]-1,2-дигидро-C₆₀-фуллерен (IV); {(1-метоксикарбонил)-1-[(метакрилоилокси)-этилоксикарбонил]-1,2-метано}-1,2-дигидро-C₆₀-фуллерен (V).



Электронные спектры поглощения исследуемых соединений регистрировали в координатах: оптическая плотность (*A*) — длина волн (λ) на УФ спектрометре UVmini 1240 Shimadzu. Запись спектров проводили при комнатной температуре в диапазоне волн от 190 до 1100 нм (ширина щели 2,0 нм, спектральное разрешение 0,1 нм, скорость сканирования 1000 нм/мин), используя кварцевую кювету толщиной 1 см. Готовили растворы различных концентраций в диапазоне от 10^{-6} до 10^{-4} моль/л. Молярные коэффициенты поглощения определяли из градуировочных графиков для длин волн в максимумах поглощения.

Спектры фуллерена C₆₀ снимали в хлористом метилене, хлороформе, толуоле, *o*-дихлорбензоле. Растворители очищали по стандартным методикам, их физико-химические константы соответствовали справочным данным.

Из-за плохой растворимости фуллерена в хлористом метилене и хлороформе молярные коэффициенты экстинкции C₆₀ определены при одной концентрации ($8,5 \cdot 10^{-6}$ моль/л). В случае ароматических углеводородов коэффициенты определяли на основании концентрационной зависимости от оптической плотности.

Поскольку хлороформ поглощает в более широкой области спектра (нижняя граница прозрачности 235 нм), спектры монозамещенных производных C₆₀ регистрировали только в хлороформе.

РЕЗУЛЬТАТЫ И ИХ ОБСУЖДЕНИЕ

Как показывает анализ литературных данных, представленных в табл. 1, в УФ спектрах фуллерена C₆₀ и монозамещенных соединений на его основе как значения молярных коэффициентов поглощения, так и положения максимумов, при которых они регистрируются, зависят от многих факторов (природы растворителя, концентрации раствора, образования молекулярных

Таблица 1

Спектральные характеристики фуллеренов и монозамещенных производных на его основе

Соединение	Растворитель	λ , нм	ε , $M^{-1} \cdot cm^{-1}$	Ссылка
C_{60}	Толуол	335	6470*	[1]
	Хлороформ	330	9400	
		260	36400	
	ТГФ	330	8640	
		260	26790	
	Бензол	330	49400	
	Толуол	330	8000—312000	
	Гексан	330	52000	
		260	172120	
	Октанол-1	330	55100	
C_{60}		260	185136	
	Октанол-2	330	39050	
		260	124180	
	Бензол	330	56561	[3]
	Толуол	332	52443	
	Хлорбензол	330	59333	
	<i>o</i> -Дихлорбензол	331	66845	
	CCl_4	327	50575	
	ТГФ	328	54838	
	Изооктан	326	37474	
C_{60}	Толуол	340	45535	[4]
		340	32041	
	Толуол	335	54500	
		310	47000	
C_{60} моноаддукт N-метилфуллеропирролидина метиловый эфир фенилциклогексан[6,6]- C_{60} -бутановой кислоты $\{(R)\text{-2-ацетокси-3-[2-(2-фуллеропирролидин-1-ил-этокси)-этоксикарбонил]-пропил}\text{-}$ триметиламмония хлорид	Хлористый метилен	260	165000*	[9]
		325	45000	
	Хлористый метилен	254	98659	
	Хлороформ		90000	
	ТГФ		117358	
	Диоксан		99890	
	Октанол		80362	

* Значения найдены из приведенных в работах УФ спектров.

комплексов) и существенно отличаются в различных публикациях. В табл. 1 приведены коэффициенты экстинкции, определенные для двух наиболее характерных полос поглощения C_{60} в областях 260 и 330 нм.

С целью систематизации существующих в научной литературе экспериментальных данных и их уточнения предварительно нами определены молярные коэффициенты экстинкции исходного фуллерена C_{60} в различных растворителях (табл. 2).

Как и часть исследователей [1], мы наблюдали незначительный гипсохромный сдвиг полосы поглощения при переходе от хлорсодержащих алканов к ароматическим углеводородам.

Таблица 2

Молярные коэффициенты экстинкции фуллерена C_{60}
в различных растворителях

Растворитель	λ , нм	ε , $M^{-1} \cdot cm^{-1}$	λ , нм	ε , $M^{-1} \cdot cm^{-1}$
Хлористый метилен	329	54480	257	186218
Хлороформ	329	54296	258	184726
<i>o</i> -Дихлорбензол	333	54523	*	—
Толуол	334	53726	*	—

* Область поглощения растворителя.

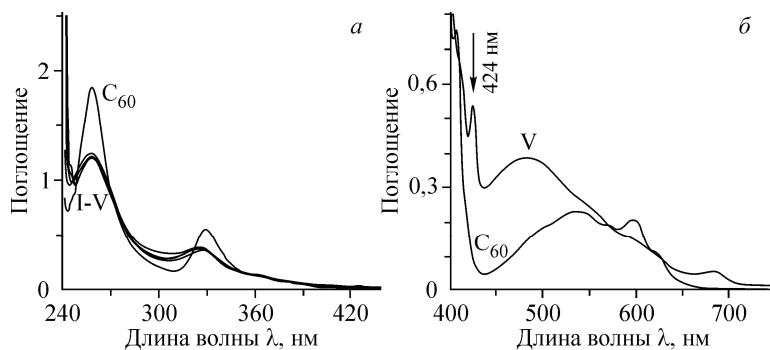
Однако, по нашим данным, молярный коэффициент поглощения фуллерена, определенный в области 330 нм, практически не зависит от типа растворителя и составляет $\sim 54400 M^{-1} \cdot cm^{-1}$, т.е. близок к значениям, полученным авторами работ [2, 4].

Спектры ряда монозамещенных 1,2-дигидро- C_{60} -фуллеренов, зарегистрированные в одинаковых условиях (см. рисунок), обнаруживают следующее. Независимо от природы и длины заместителей спектральные кривые монозамещенных 1,2-дигидро- C_{60} -фуллеренов идентичны: спектры всех модифицированных фуллеренов, приведенные к одной концентрации, практически совпадают (см. рисунок, а). При переходе от исходного C_{60} к его монозамещенным производным максимумы полос поглощения несколько смещаются в коротковолновую область, а интенсивность поглощения уменьшается примерно на 35 %.

В длинноволновой области (см. рисунок, б) на спектрах всех исследуемых производных регистрируется острый пик с максимумом при 424 нм (на примере {(1-метоксикарбонил-1-[метакрилоилокси]-этилоксикарбонил]-1,2-метано}-1,2-дигидро- C_{60} -фуллерена), который характерен только для моноаддуктов [11] и связан с присоединением заместителей исключительно по двойной 6,6 связи C_{60} и образованием 1,2-метанофуллеренов. Кроме этого пика для последних характерны полосы поглощения с максимумами при 482 и 684 нм. Аналогичный вид спектральной кривой имеют все монопроизводные метанофуллеренового ряда.

Для всех полос в дифференциальном спектре наблюдается линейная зависимость оптической плотности от концентрации соединений. Полученные результаты спектральных характеристик ряда монозамещенных 1,2-дигидро- C_{60} -фуллеренов приведены в табл. 3.

С увеличением концентрации монозамещенных 1,2-дигидро- C_{60} -фуллеренов (см. табл. 3) отмечается уменьшение значений коэффициентов экстинкции монозамещенных 1,2-дигидро- C_{60} -фуллеренов при обеих длинах волн. Однако при $\lambda \sim 260$ нм их изменения более значительны, что приводит к уменьшению отношения A_{258}/A_{327} . Подобное поведение растворов, вероятно, можно объяснить образованием ассоциатов переменного состава.



УФ спектры фуллерена C_{60} и ряд I—V монозамещенных 1,2-дигидро- C_{60} -фуллеренов, снятые в хлороформе и при одинаковых концентрациях: 10^{-5} (а); $2,5 \times 10^{-4}$ моль/л (б) (спектр C_{60} снят в *o*-дихлорбензоле)

Т а б л и ц а 3

Изменение молярных коэффициентов поглощения в зависимости от концентрации монозамещенных 1,2-дигидро-С₆₀-фуллеренов

Соединение	Концентрация × 10 ⁵ , моль/л	ε (327 нм), М ⁻¹ ·см ⁻¹	ε (258 нм), М ⁻¹ ·см ⁻¹	A ₂₅₈ /A ₃₂₇
I	0,46	34600	125890	3,64
	0,73	34260	119500	3,49
	1,09	35110	121510	3,46
	1,44	35343	119960	3,39
	2,14	36350	118040	3,25
	Средний коэффиц. экстинкции	35720	118630	$\varepsilon_{424} = 1870 \text{ M}^{-1} \cdot \text{см}^{-1}$
		$R = 0,9984$	$R = 0,9979$	
	0,40	37000	123750	3,34
	0,49	36740	122250	3,33
	0,63	36540	121260	3,32
II	1,54	35840	117660	3,28
	1,76	35460	116080	3,27
	Средний коэффиц. экстинкции	35760	117440	$\varepsilon_{424} = 2150 \text{ M}^{-1} \cdot \text{см}^{-1}$
		$R = 0,9997$	$R = 0,9993$	
	0,77	39010	124030	3,18
	0,96	37760	120250	3,18
	1,15	37650	119570	3,17
	1,89	35410	112100	3,16
	2,97	35080	109430	3,12
	Средний коэффиц. экстинкции	35610	112160	$\varepsilon_{424} = 2050 \text{ M}^{-1} \cdot \text{см}^{-1}$
III		$R = 0,9985$	$R = 0,9954$	
	0,50	38000	127800	3,36
	0,59	37670	125680	3,34
	1,13	37690	124190	3,30
	2,19	36350	115600	3,18
	2,60	36090	110200	3,05
	Средний коэффиц. экстинкции	36060	113020	$\varepsilon_{424} = 1980 \text{ M}^{-1} \cdot \text{см}^{-1}$
		$R = 0,9988$	$R = 0,9947$	
	0,49	36250	121790	3,36
	0,73	36160	121230	3,35
V	0,83	36140	119520	3,31
	1,04	35480	116150	3,27
	1,26	35320	115000	3,25
	Средний коэффиц. экстинкции	35660	117260	$\varepsilon_{424} = 2390 \text{ M}^{-1} \cdot \text{см}^{-1}$
		$R = 0,9995$	$R = 0,9980$	

На основании результатов выполненной работы можно заключить следующее.

1. Молярный коэффициент поглощения для фуллерена не зависит от типа растворителя и составляет $\sim 185500 \text{ M}^{-1} \cdot \text{см}^{-1}$ при $\lambda \sim 260 \text{ нм}$ и $\sim 54400 \text{ M}^{-1} \cdot \text{см}^{-1}$ при $\lambda \sim 330 \text{ нм}$.

2. Для ряда монозамещенных 1,2-дигидро-С₆₀-фуллеренов коэффициент экстинкции, определенный в максимуме поглощения в тех же областях спектра, меньше ($\sim 35700 \text{ M}^{-1} \cdot \text{см}^{-1}$ при $\lambda \sim 328 \text{ нм}$ и $115250 \text{ M}^{-1} \cdot \text{см}^{-1}$ при $\lambda \sim 257 \text{ нм}$) по сравнению с немодифицированным С₆₀ и практически не зависит от химического строения заместителя.

СПИСОК ЛИТЕРАТУРЫ

1. Chubarova E.V., Melenovskaya E.Yu. // Fullerenes, Nanotubes and Carbon Nanostruct. – 2008. – **16**. – P. 640 – 643.
2. Bensasson R.V., Bienvenue E., Dellinger M. et al. // J. Phys. Chem. – 1994. – **98**, N 13. – P. 3492 – 3500.
3. Грунъкин И.Ф., Логинова Н.Ю. // Журн. общей химии. – 2006. – **76**. – С. 2000 – 2002.
4. Silvestrini S., Dalle Nogare D., Carofiglio T. et al. // Eur. J. Org. Chem. – 2011. – P. 5571 – 5576.
5. Guldi D.M., Prato M. // Acc. Chem. Res. – 2000. – **33**. – P. 695 – 703.
6. Торосян С.А., Гималова Ф.А., Михеев В.В. и др. // Журн. орган. химии. – 2011. – **47**, № 12. – С. 1771 – 1774.
7. Торосян С.А., Гималова Ф.А., Биглова Ю.Н. и др. // Журн. орган. химии. – 2012. – **48**, № 5. – С. 735 – 737.
8. Torosyan S.A., Biglova Y.N., Mikheev V.V. et al. // Mendeleev Commun. – 2012. – **22**, № 4. – P. 199 – 200.
9. Geerts Y.H., Debever O., Amato C. et al. // Beilstein J. Org. Chem. – 2009. – **5**, N 49.
10. Angelini G., De Maria P., Fontana A. et al. // Langmuir. – 2001. – **17**. – P. 6404 – 6417.
11. Guldi D.M., Hunderbuhler H., Carmichael I. // J. Phys. Chem. A. – 2000. – **104**. – P. 8601 – 8616.